

ダンパーを有する多復数系の強制振動について

東北大工学部 正会員 飯田茂・高橋龍夫

多復数系の強制振動については、数多くの書物に書かれている。しかし、本文後半で扱うような問題、即ち、ハリを有限個の復点と考え、特定の復点に減衰器（ダンパー）を取りつけた場合の強制振動についてはあまり書かれていないし、実際の構造物の振動モデルとしては稀れであり、そのため、必要性を欠いたとも考えられる。

著者は、数年來、長大橋、特に吊橋にダンパーを取りつけ、吊橋の制動力を増し、その欠点である「振動し易い」特性を軽減するための研究を続けているが、本文は、この研究のための基礎研究の一端である。

構造物の振動はfig.1に示すように1復点系の振動に置き換えられる場合があり、定性的に当てはまるところある。しかし、場合によつては、これだけでは不充分であり、多復点系の振動を考えなければならぬことが多い。本文前半では1復点系の強制振動と2復点系、3復点系の（併れも粘性抵抗を有する）強制振動の比較を行い、後半では、実例として、ハリを有限個の多復点系とみなし、特定の復点にダンパーを取り付けた場合の強制振動を扱う。外力としては周期的外力を考える。

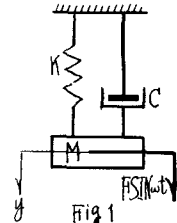
1復点系の強制振動

$$fig.1 の系の運動方程式は \quad M \frac{d^2y}{dt^2} + C \frac{dy}{dt} + Ky = F \sin \omega t \quad (1)$$

で表わされる。この解は一般に良く知られてゐるようく、自由振動の項と強制振動の項の和として表わされ、強制振動の項 $[y]_1^1$ (以後 $[y]_1^1$ は強制振動の項を表す) は次のようになる。

$$[y]_1^1 = \frac{f}{[(p^2 - \omega^2)^2 + 4m^2\omega^2]^{\frac{1}{2}}} \sin(\omega t + \varphi_1^1), \quad (2), \quad \varphi_1^1 = \tan^{-1} \left(\frac{-2m\omega}{p^2 - \omega^2} \right) \quad (3)$$

但し、 $p^2 = \frac{K}{M}$, $2m = \frac{C}{M}$, $f = \frac{F}{M}$



2復点系の強制振動

$$fig.2 の系の運動方程式は、M_1 \ddot{y}_1 + (C_1 + C_2) \dot{y}_1 + (K_1 + K_2) y_1 - C_2 \dot{y}_2 - K_2 y_2 = F \sin \omega t,$$

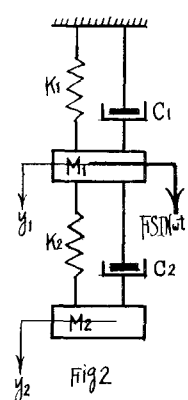
$$M_2 \ddot{y}_2 + C_2 \dot{y}_2 + K_2 y_2 - C_1 \dot{y}_1 - K_1 y_1 = 0,$$

となり、 $[y]_1^2$, $[y]_2^2$ は次のようになる。但し、 $M_1 = M$, $M_2 = \alpha M$, $K_1 = K$, $K_2 = \beta K$, $C_1 = C$, $C_2 = \gamma C$, $\omega = \sqrt{\frac{K}{M}}$, $N = \frac{C}{M}$, $f = \frac{F}{M}$, $a = \frac{C^2}{MK}$, $b = \frac{M}{K} \omega^2$ である。

$$[y]_1^2 = \frac{f [ab(\phi_1 - \gamma^2 ab)^2 + (\phi_2 + \gamma ab \phi_1)^2]^{\frac{1}{2}}}{N [(D_1 - \gamma ab)^2 + (D_2)^2 ab]} \sin(\omega t + \varphi_1^2) \quad (4)$$

$$[y]_2^2 = \frac{f [ab(\phi_3 - \gamma^2 ab)^2 + (\phi_4 + \gamma ab \phi_3)^2]^{\frac{1}{2}}}{N [(D_1 - \gamma ab)^2 + ab(D_2)^2]} \sin(\omega t + \varphi_2^2) \quad (5)$$

$$\varphi_1^2 = \tan^{-1} \frac{\sqrt{ab}(\phi_1 - \gamma^2 ab)}{\phi_2 + \gamma ab \phi_1}, \quad (6), \quad \varphi_2^2 = \tan^{-1} \frac{\sqrt{ab}(\phi_3 - \gamma^2 ab)}{\phi_4 + \gamma ab \phi_3} \quad (7)$$



* 昭和42年度秋学期定期試験
にて一部省略

$$\text{假し}, \Phi_1 = a^2(1+\delta)b^2 - 2\alpha\beta b + \beta^2, \Phi_2 = (\alpha b - \beta) \{ab^2 - (\alpha + \beta + \delta\beta)b + \beta^2\}, \Phi'_1 = (x + \delta)b - (\beta + \gamma - \alpha\gamma),$$

$$\Phi_3 = \alpha\delta b^2 + \alpha(\beta - \delta)b - \beta^2, \quad \Phi_4 = \beta \{ab^2 - (\alpha + \beta + \delta\beta)b + \beta^2\}, \quad \Phi'_4 = (\alpha + \delta + \alpha\gamma)b - (\beta + \gamma),$$

今, $x = \beta = \gamma = 1$ の場合, $[\dot{y}]_1^2, [\dot{y}]_2^2$ の一部を図示すれば fig.3, fig.4 のようになる。

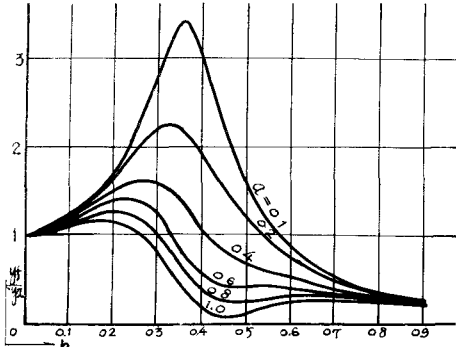


fig.3

fig.3, 4において縦軸には振巾と静たわみの比、横軸には $b = \frac{M}{K} \omega^2$ の 10 ラジヤーとてある。

復原 M_2 の振巾応答は 1 倍点系のそれによく似ていても、復原 M_2 はかねり透いた形となる。

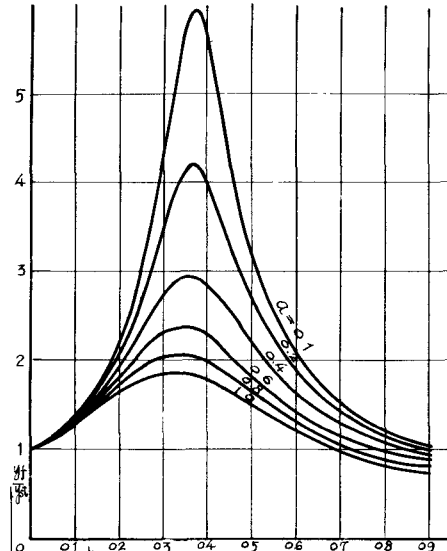


fig.4

3 倍点系の強制振動

fig.5 に示される系の運動方程式は、

$$\begin{aligned} M_1 \ddot{y}_1 + (C_1 + C_2) \dot{y}_1 + (K_1 + K_2) y_1 - C_2 \dot{y}_2 - K_2 y_2 &= F \sin \omega t \\ M_2 \ddot{y}_2 + (C_2 + C_3) \dot{y}_2 + (K_2 + K_3) y_2 - C_2 \dot{y}_1 - C_3 \dot{y}_3 - K_2 y_1 - K_3 y_3 &= 0 \\ M_3 \ddot{y}_3 + C_3 \dot{y}_3 + K_3 y_3 - C_2 \dot{y}_2 - K_3 y_2 &= 0 \end{aligned} \quad \cdots (8)$$

これより $[\dot{y}]_1^2, [\dot{y}]_2^2, [\dot{y}]_3^2$ は次のようになる。

$$[\dot{y}]_1^2 = \frac{1}{N} \frac{[ab(\phi_1 - ab\phi_1')H_1 - (\phi_2 - ab\phi_2')(H_1' - abH')]^2 + [(\phi_1 - ab\phi_1')(H_1' - abH')]^2 + ab(\phi_2 - ab\phi_2')H_2^2]^{\frac{1}{2}}}{(\phi_1 - ab\phi_1')^2 + ab(\phi_2 - ab\phi_2')^2} \quad \cdots (9)$$

$$[\dot{y}]_2^2 = \frac{1}{N} \frac{[ab(\phi_1 - ab\phi_1')H_1 + (\phi_2 - ab\phi_2')(H_1' - abH')]^2 + [(\phi_1 - ab\phi_1')(H_1' - abH')]^2 - ab(\phi_2 - ab\phi_2')H_2^2]^{\frac{1}{2}}}{(\phi_1 - ab\phi_1')^2 + ab(\phi_2 - ab\phi_2')^2} \quad \cdots (10)$$

$$[\dot{y}]_3^2 = \frac{1}{N} \frac{[ab(\phi_1 - ab\phi_1')H_1 + (\phi_2 - ab\phi_2')(H_1' - abH')]^2 + [(\phi_1 - ab\phi_1')(H_1' - abH')]^2 - ab(\phi_2 - ab\phi_2')H_2^2]^{\frac{1}{2}}}{(\phi_1 - ab\phi_1')^2 + ab(\phi_2 - ab\phi_2')^2} \quad \cdots (11)$$

$$\phi_1^3 = \tan^{-1} \frac{\sqrt{ab}[(\phi_1 - ab\phi_1')H_1 - (\phi_2 - ab\phi_2')(H_1' - abH')]}{(\phi_1 - ab\phi_1')(H_1' - abH') + \alpha b(\phi_2 - ab\phi_2')H_1} \quad \cdots (12)$$

$$\phi_2^3 = \tan^{-1} \frac{\sqrt{ab}[(\phi_1 - ab\phi_1')H_1 + (\phi_2 - ab\phi_2')(H_1' - abH')]}{(\phi_1 - ab\phi_1')(H_1' + abH') - ab(\phi_2 - ab\phi_2')H_2} \quad \cdots \cdots \cdots (13)$$

$$\phi_3^3 = \tan^{-1} \frac{\sqrt{ab}[(\phi_1 - ab\phi_1')H_1 + (\phi_2 - ab\phi_2')(H_1' - abH')]}{(\phi_1 - ab\phi_1')(H_1' - abH') - ab(\phi_2 - ab\phi_2')H_2} \quad \cdots \cdots \cdots (14)$$

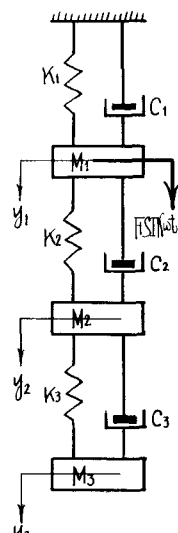


fig.5

有限個の多値点と荷えた場合のハリの強制振動

fig. 6 に示されるようにハリと有限個の多値点に置き換えて考える。ハリは質量のない、一様に曲げ剛性 EI を有する棒とし、質量は等間隔にとりわけられた集中質量と考える。

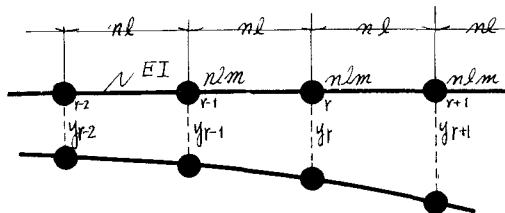


fig. 6

一例として fig. 7 で示された系の場合の強制振動を考える。

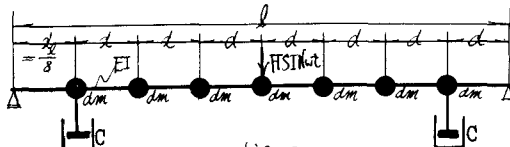


fig. 7

鉛直方向の力の釣合いより、

$$\begin{aligned} \ddot{y}_1 + D\ddot{y}_1 + S[160y_1 - 155y_2 + 72y_3 - 18y_4] &= 0, \quad \ddot{y}_2 + S[-155y_1 + 232y_2 - 191y_3 + 72y_4] = 0 \\ \ddot{y}_3 + S[72y_1 - 191y_2 + 304y_3 - 173y_4] &= 0, \quad \ddot{y}_4 + S[-36y_1 + 144y_2 - 346y_3 + 232y_4] = f \sin \omega t, \quad (1) \end{aligned}$$

$$160D = \frac{C}{md}, \quad S = \frac{6}{97} \frac{EI}{md^4}, \quad f = \frac{F}{md},$$

二小葉の式すなれば $[y_1]^T, [y_2]^T, [y_3]^T, [y_4]^T$ を求めれば次の様になる。

$$[y_1]^T = \frac{1}{N} \frac{(18b^3 + 13968b + 442223)}{[\Phi_1^2 + ab\Phi_2^2]} \sin(\omega t + \varphi_1) \quad (19),$$

$$[y_2]^T = \frac{1}{N} \frac{[ab\Phi_1(72b + 11155) + \Phi_2(72b^2 + 2425b - 827992)]^2 + [\Phi_1(72b^2 + 2425b - 827992) + ab\Phi_2(72b + 11155)]^2}{[\Phi_1^2 + ab\Phi_2^2]} \frac{1}{2} \sin(\omega t + \varphi_2) \quad (20)$$

$$[y_3]^T = \frac{1}{N} \frac{[ab\Phi_1(173b - 4036) + \Phi_2(173b^2 - 52768b + 1100853)]^2 + [\Phi_1(173b^2 - 52768b + 1100853) + ab\Phi_2(173b - 4036)]^2}{[\Phi_1^2 + ab\Phi_2^2]} \frac{1}{2} \sin(\omega t + \varphi_3) \quad (21)$$

$$[y_4]^T = \frac{1}{N} \frac{[ab\Phi_1(b^3 - 536b^2 + 34047) - \Phi_2(b^3 - 696b^2 - 90598b - 1204352)]^2 + [\Phi_1(b^3 - 536b^2 + 34047) - ab\Phi_2(b^3 - 696b^2 - 90598b - 1204352)]^2}{[\Phi_1^2 + ab\Phi_2^2]} \frac{1}{2} \sin(\omega t + \varphi_4) \quad (22)$$

$$\varphi_1 = \tan^{-1} \frac{-\sqrt{ab} [\Phi_2]}{\Phi_1}, \quad (23), \quad \varphi_2 = \tan^{-1} \frac{-\sqrt{ab} [\Phi_1(72b + 11155) + \Phi_2(72b^2 + 2425b - 827992)]}{\Phi_1(72b^2 + 2425b - 827992) + ab\Phi_2(72b + 11155)} \quad (24)$$

$$\varphi_3 = \tan^{-1} \frac{-\sqrt{ab} [\Phi_1(173b - 4036) + \Phi_2(173b^2 - 52768b + 1100853)]}{\Phi_1(173b^2 - 52768b + 1100853) + ab\Phi_2(173b - 4036)}, \quad (25), \quad \varphi_4 = \tan^{-1} \frac{-\sqrt{ab} [\Phi_1(b^3 - 536b^2 + 34047) - \Phi_2(b^3 - 696b^2 - 90598b - 1204352)]}{\Phi_1(b^3 - 536b^2 + 34047) + ab\Phi_2(b^3 - 696b^2 - 90598b - 1204352)} \quad (26)$$

$$\text{相手 } \Phi_1 = b^4 - 928b^3 + 181196b^2 - 4817408b + 1825346, \quad \Phi_2 = b^3 - 768b^2 + 88173b - 376360,$$

次のページに $[y_1]^T, [y_2]^T, [y_3]^T, [y_4]^T, \varphi_1^T, \varphi_2^T, \varphi_3^T, \varphi_4^T$ の一部を掲げる。縦軸に ω^2 、振巾、角度、横軸に $10^3 \times -\varphi -$ である。 $b = \frac{\omega^2}{N} = \frac{6EI}{97} (md) d^3$ をとる。

三連モーメントの定理より

$$(M_{H1} + 4M_r + M_{H1}) + \frac{6EI}{(nd)^2} yr = \infty, \quad \dots \dots \quad (5)$$

鉛直方向の力の釣合いより

$$\frac{1}{nd} (M_{H2} - 2M_r + M_{H1}) + M_{LM} \ddot{y}_r = 0, \quad \dots \dots \quad (6)$$

もし 値点に外力が働く場合には、後の式の中にその外力の鉛直方向の力を与えてやればよい。

モーメントの釣合いより

$$\begin{array}{|c|c|c|c|} \hline 4, 1, 0, 0 & M_1 & -2, 1, 0, 0 & y_1 \\ \hline 1, 4, 1, 0 & M_2 & -EI & y_2 \\ \hline 0, 1, 4, 1 & M_3 & 0 & y_3 \\ \hline 0, 1, 2, 4 & M_4 & 0, 0 & y_4 \\ \hline \end{array} \quad (7)$$

$$\text{相手 } y_1 = y_7, y_2 = y_6, y_3 = y_5,$$

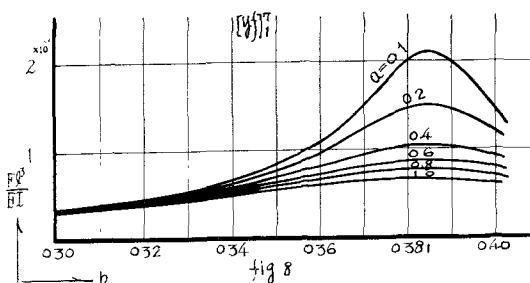


fig 8

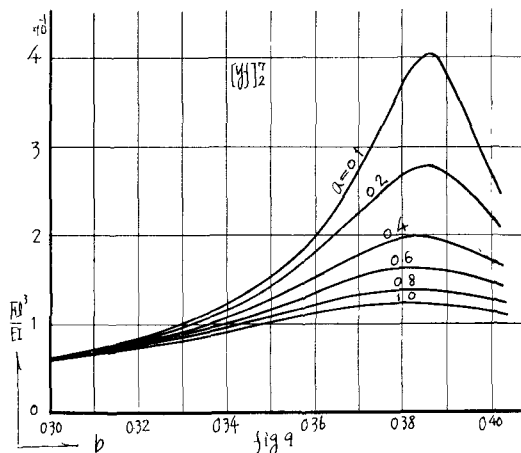


fig 9

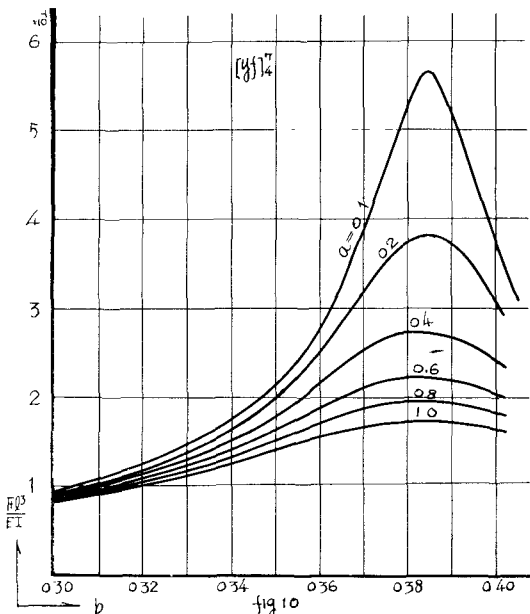


fig 10

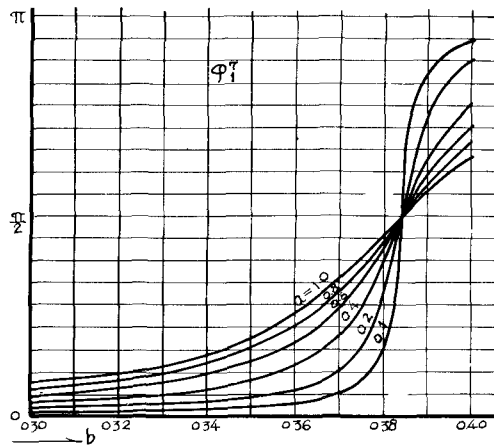


fig 11

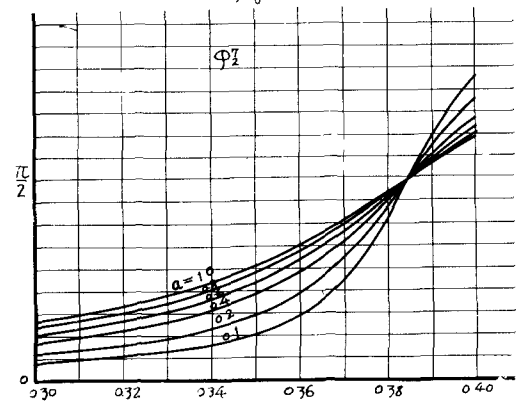


fig 12

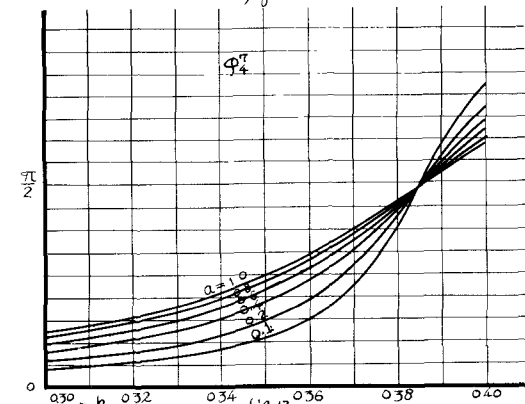


fig 13

周期的に外力を受けるハリに、ダンパーをついた場合、ハリはかわりの制動力をうけ、ダンパー

をパレテーにより、振動モードにも変化をきかじ、各負荷の位相のズレも違つたものになる。特にダンパーのついてある負荷の違いが大である。今までは一次振動のみを扱つた。